4-[4-(丙烯酰氧基)苯基偶氮]苯磺酸光异构化反应及光聚合水凝胶制备

刘建伟 2 林 琳 1 聂 俊 1,2 何 勇 1,2

¹(教育部碳纤维和功能性聚合物重点实验室 材料科学与工程学院 北京化工大学 北京 100029) ²(北京化工大学常州先进材料研究院 常州 213164)

摘要 研究了水溶性偶氮苯单体 4-[4-(丙烯酰氧基)苯基偶氮]苯磺酸(APABS)的光物理性质。考察了溶剂对其光异构化反应的影响,并将 APABS 和丙烯酸羟乙酯(HEA)组成共聚体系,在交联剂 N, N-亚甲基双丙烯酰胺(MBAA)的存在下,通过光聚合方法制备水凝胶。利用扫描电子显微镜考察了聚合温度对水凝胶内部结构影响。 关键词 偶氮染料,光致异构,光聚合,水凝胶 中图分类号 0644.14,0625.65,TO316.31

偶氮苯是一种经典的光响应基团,由于其特有的光致异构性能被广泛应用于电子产品、光开关、生物控释材料^[1,2]、防伪材料、护肤材料等^[3]。水凝胶是由亲水性高分子通过物理、化学作用构成的三维网状结构,这种结构不溶于水但却可以被大量的水溶胀。目前研究的热点主要在于智能响应型的水凝胶材料,比如对于光、热、电、pH等因素的响应体系^[4-12]。其中光响应体系因其响应快速,定域控释并且对生物活性材料影响较小等特点成为了研究的重点。光聚合技术是利用光能作为反应动力,引发聚合反应,最终将单体转化为线性或三维网状的高分子。这种方法具有节省能量,操作条件温和,速度快的优势。如果能够把光聚合技术与光响应效应结合起来,就会实现制造一种成型条件温和、形状可控、响应速度快的新型水凝胶材料的目标。

本工作报道了一种具有光聚合活性的偶氮类单体的光化学性质,研究了不同溶剂对其光异构化反应速率的影响,并将其和丙烯酸羟乙酯(HEA)、N,N-亚甲基双丙烯酰胺(MBAA)组成光聚合体系,通过光聚合方法制备得到水凝胶,利用扫描电子显微镜考察了聚合温度对水凝胶内部结构的影响。

1 实验材料和方法

1.1 主要原料

对氨基苯磺酸 (AR): 北化恒业精细化学品有

限公司;苯酚(AR),亚硝酸钠(AR),丙烯酸羟乙酯(HEA):北京化工厂;聚乙二醇二丙烯酸酯(PEGDA):美国沙多玛公司;N,N-亚甲基双丙烯酰胺(MBAA):天津市福辰化学试剂厂;CQ(樟脑醌),4-(N,N-二甲氨基)苯甲酸乙酯(EDMAB):Aldrich 公司。

1.2 主要设备

光源为 320—500 nm EXFO Lite 点光源,光纤直径为 5 mm (EXFO,加拿大),配有 320—390 nm 和 400—500 nm 的滤光片来分别提供紫外光和可见光;U-3010 UV-Vis 分光光度计(Hitachi,日本);EYELA-PSL1800 型低温恒温槽(东京理化器械株氏会社,日本),UV-A 光强计(北京师范大学光电仪器厂,北京);Bruker AV600 型超导核磁共振仪,用四甲基硅烷(TMS)为内标,以氘代二甲基亚砜(d_6 -DMSO)为溶剂溶解样品;Hitachi S-4700 扫描电镜(SEM,日本日立)。

1.3 实验方法

1.3.1 偶氮苯单体的合成 4-[4-羟基苯基偶氮]苯磺酸 (PABS) 参考文献[1] 的方法合成,并将其与丙烯酰氯反应,即可以得到 4-[4-(丙烯酰氧基)苯基偶氮]苯磺酸。其反应方程式如图 1 所示。在冰浴温度下,5.56 g 对羟基苯磺酸溶于 140 mL 二甲基甲酰胺 (DMF) 加入到 500 mL 三口烧瓶中,然后加

通讯作者: 何勇, Email: heyong@mail.buct.edu.cn 收稿日期: 初稿 2010-11-16, 修回 2010-12-15

国家自然科学基金(50703003)、长江学者高校创新研究团队(50473024)计划、产学研前瞻性联合研究项目-液晶(TFT-LCD)彩色滤光片(CF)关键材料开发及高纯化处理集成技术研究(BY2009121)资助

第一作者:刘建伟,男,1984年9月出生,2010年毕业于北京化工大学,材料科学与工程专业,研究方向:光固化材料,助理工程师

入 6 mL 三乙胺, 待温度维持在 0—5℃, 用平衡漏 斗缓慢滴加装有 4 mL 丙烯酰氯和 40 mL DMF 的混合溶液, 通过调节滴加的速度控制三口烧瓶中的温度, 保证里面反应温度低于 5℃。反应 4 h 后, 得到

桔黄色浑浊液,过滤沉淀,用蒸馏水和乙醇(4:1)的混合液重结晶得到2.78g纯净4-[4-(丙烯酰氧基)苯基偶氮]苯磺酸,产率为42.1%。

Fig.1 Synthesis of APABS

¹H NMR (600 MHz, *d*₆-DMSO): a (7.44, 2H), b(7.86, 2H), c(7.86, 2H), d(7.98, 2H), e(6.45, H), f(6.57, H), g(6.20, H) ¹³C NMR (600 MHz, *d*₆-DMSO): a(122.658, 2C), b(123.322, 2C), c(124.380, 2C), d(127.290, 2C), e(127.877, C), f(134.541, C), g(150.116, C), h(151.027, C), i(152.132, C), j(153.041, C), k(164.324, C)

1.3.2 光异构化速率测定 取计算量的偶氮染料至 棕色容量瓶,分别加入不同溶剂,使其充分溶解后,避光室温静置 24 h,得到预定浓度的溶液。取出 3 mL 染料溶液,加入 1 cm 光程的石英池,用胶盖密封并通氮 40 min 后,以溶剂为参比测定紫外吸收光谱,然后使用波长为 320—390 nm 紫外光对其进行照射,并每隔相应的时间间隔测定紫外吸收光谱,根据其紫外吸收值随照射时间(t)延长的变化,按照下式可以计算出光异构化速率 k:

$$\ln\frac{(A_0 - A_\infty)}{(A_t - A_\infty)} = kt$$
(1)

1.3.3 光响应水凝胶的制备 合成步骤参考文献[2]。将 HEA: PEGDA: MBAA 按质量比 100:10:10混合均匀,不加或加入 1%的 APABS,3%的引发剂 CQ 和 1%的助引发剂 EDMAB 后,溶解完全后将混合物注入到模具中,并将表面进行包封,然后在不同温度下,上下表面共照射 5 min,所用光强为

1205 mW/cm²。将制备出的水凝胶用水浸泡以除去未反应的成分,然后用液氮冻住定型,放入冻干干燥箱在-50℃真空环境下放置 24h,除去水分。 1.3.4 SEM 测试 将干燥的样品快速用液氮冷冻后小心掰开,在新的断面喷上一层金,然后将其放

2 结果和讨论

2.1 溶剂对光异构化速率的影响

入 SEM 中,调节电压为 10kV 进行测试。

首先研究了所合成的 APABS 在水和 DMSO 溶液中的光异构化反应。从图 2 中可以看出,当使用相同的光强对不同的溶液进行照射时,其光异构反应的速率是不同的,在 DMSO 中的反应速率明显要大于在水中的反应速率,并且在 DMSO 溶液中,其最终转化率也要大于水溶液体系的。所计算得到的反应速率为 k (DMSO)=0.58 s^{-1} , k (Water)=0.29 s^{-1} 。

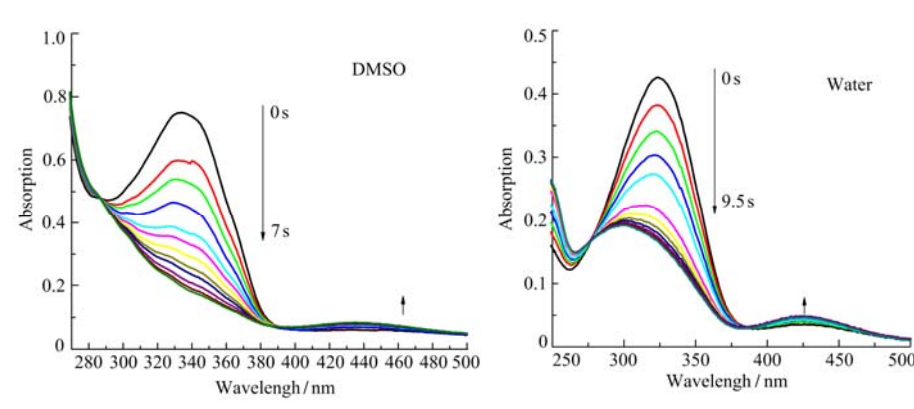


Fig.2 Photo-isomerization of APABS in DMSO and water [APABS]=1.042×10⁻⁵ mol/L, [I]=30 mW/cm²

为了探究产生这种现象的原因,又对中间产物 PABS 在 DMSO 和水溶液中的光异构化反应进行了 研究,所得到的结果如图 3 所示,可以看出,对于 PABS,其异构化化速率也是类似的,在 DMSO 中的反应速率要大于在水中的反应速率, $k(DMSO)=2.43\times10^{-4}\cdot s^{-1}$, $k(Water)=1.33\times10^{-4}\cdot s^{-1}$ 。

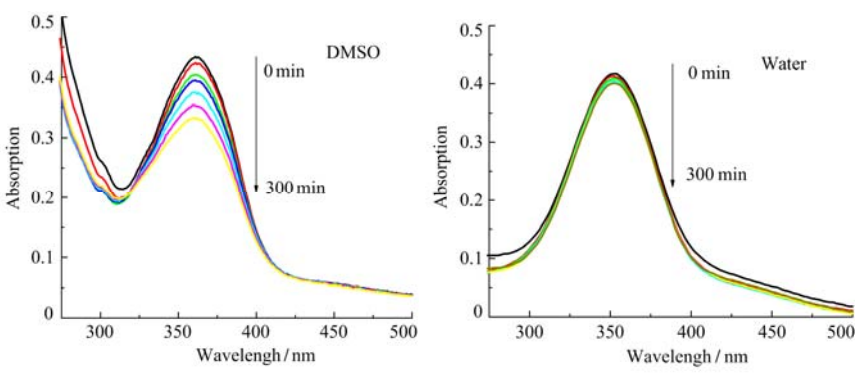


Fig.3 Photo-isomerization of PABS in DMSO and water [PABS]=1.042×10⁻⁵ mol/L, [I]=30 mW/cm²

我们认为,这两种偶氮染料的光化学性质之所 以受到溶剂的影响,应该归因于两个方面,第一个 是溶剂的极性,因为在光致异构化反应会导致分子 偶极矩的变化,因此环境的极性一定会对这个过程 的动力学性质产生影响;第二是染料与溶剂形成氢 键的能力,因为这两种染料分子结构中带有羟基或 磺酸基基团,可能会与溶剂产生氢键作用,这也会 对异构化过程产生影响。

为了进一步研究其原因,本文准备了一系列不同溶解度参数的溶剂,来观察 PABS 在其中的光异构化反应性质,其中混合溶剂体积比例为 1:1。表 1 列出了这些溶剂或溶剂组合的极性参数 $\delta_{\rm p}$ 和氢键参数 $\delta_{\rm h}$,以及由其共同作用形成的完全溶解参数 $\delta_{\rm a}$ ($\delta_a = \sqrt{\delta_{\rm p}^2 + \delta_h^2}$)的大小[13]。

Table 1	The $\delta_{\rm p}$, $\delta_{\rm h}$ and $\delta_{\rm a}$ of different kinds of solvents
---------	---

Solvent	δ_{p} / Polar	$\delta_{ m h}/$ Hydrogen	$\delta_{\rm a}/$ Dissolved parameters
Toluene	1.4	2.0	2.4
Dichloromethane	6.4	6.1	8.8
Ethyl acetate	5.3	9.2	10.6
DMSO	16.4	10.2	19.3
Ethanol	8.8	19.5	21.4
Water	31.3	34.2	46.4

从图 4 中可以看出,PABS 的光致异构速率与极性常数 δ_p 和氢键常数 δ_h 都不是完全相关的,而是和完全溶解参数 δ_a 的大小基本对应的,这与我们的预测是一致的。在完全溶解参数大的溶剂,由于极性和氢键的双重作用,使光异构化速度变得很慢,在完全溶解参数小的溶剂里,PABS 有较快的异构化速度。

从 PABS 的结果看,可以类比 APABS 的规律, APABS 比 PABS 要相对简单一些,因为其结构上没 有羟基,其氢键作用要小得多,所以基本上只受溶 剂的极性影响,极性大则反应速率小。

另外也可以看出, APABS 和 PABS 的光异构速率有巨大的区别。在同样光强的紫外灯照射下, PABS 在 300 min 内完成了由反式→顺式的转换,且程度较小,而 APABS 仅仅用了 20 s 就完成了由这一转换,且达到了光稳定态的转化。两者的光化学

差异很大,而造成这种原因的仅仅是将 PABS 中的 羟基反应掉,接上极性相对较弱的丙烯酸酯基团。 我们认为可能与分子轨道排布,氢键作用,电子转 移能力和跃迁能量等几个方面共同作用的结果。

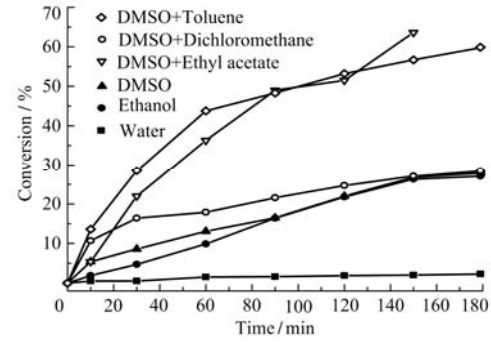


Fig.4 Isomeration rate of PABS isomerization in different solvents [PABS]=1.042×10⁻⁵ mol/L, [I]=30 mW/cm²

在可见光的照射下,含有 1%APABS 的体系,在室温下经过 5 min 可以制备得到性状良好的水凝

胶产物。进而分别在温度为-40℃、0℃、20℃、40℃

下,也通过可见光照射制备得到了水凝胶,并且用

扫描电子显微镜观察了得到的水凝胶内部结构。从

图 5 中可以看出,水凝胶制备温度也是影响水凝胶

内部结构的一个主要因素。随着温度的依次增大,

水凝胶内部孔洞尺寸也随之增大。但是从图 6 中可

以看出,如果不添加偶氮染料,则水凝胶内部不会

产生空洞,这说明了孔洞的形成和偶氮染料的存在

有着直接的联系。我们认为偶氮染料结构具有较强

的疏水性,而偶氮苯结构含量较大的共聚物微区也

是具有一定的疏水性, 由其所产生的疏水作用导致

了孔洞的形成,而随着温度增高,其顺反异构活性

2.2 不同温度下制备含水溶性偶氮苯水凝胶

进一步将 APABS 和 HEA、MBAA 组成光聚合体系,其中 HEA 是一种常用的用来制备水凝胶的水溶性丙烯酸酯单体,它也可以增强偶氮染料APABS 在水中的溶解性能,而 MBAA 一种水溶性的交联剂。所使用的光引发剂 CQ 和助引发剂EDMAB 是一种公认具有生物安全性的可见光引发体系,它在可见光固化齿科修补材料中已经得到了广泛的应用。

之所以选用可见光聚合体系而不是常用的紫外光聚合体系,是因为偶氮染料在紫外光区有较大的吸收,并且吸光后会发生光异构化反应,所以如果用紫外光聚合反应,那么得到了就是有较大顺式异构体分布的体系,而如果用可见光光聚合反应,所得到的就是具有绝大部分是反式异构体分布的体系。很明显,后者在后续的光响应水凝胶的性质调制方面会有更大的调节余地^[2]。

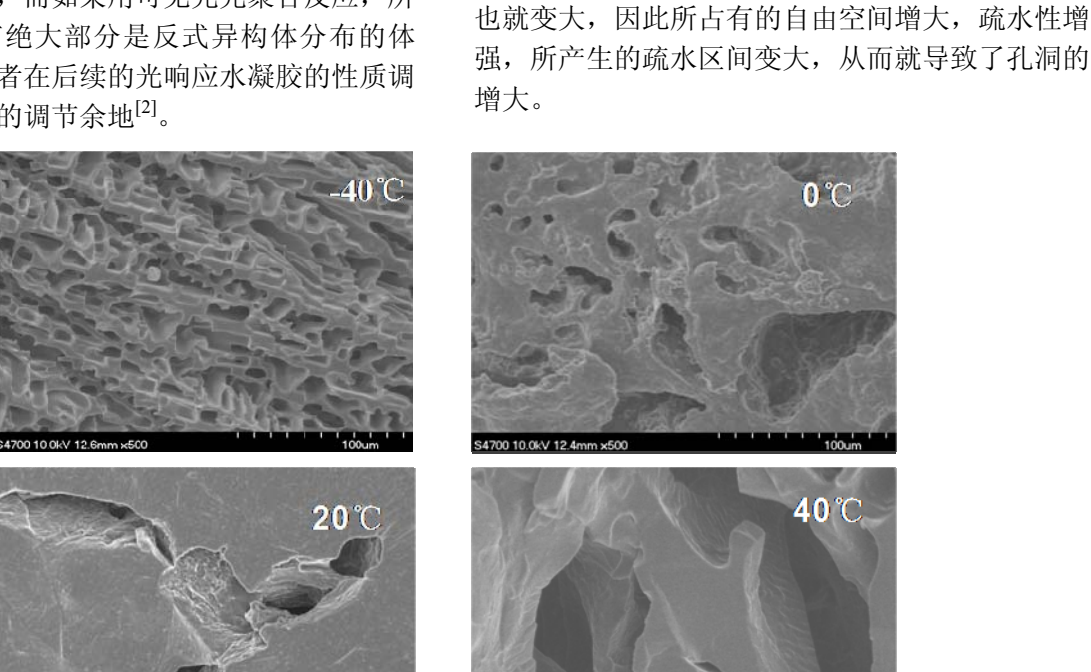


Fig.5 Inner morphous of hydrogels prepared at different temperatures [APABS]=1%wt, $[I]=1205 \text{ mW/cm}^2$

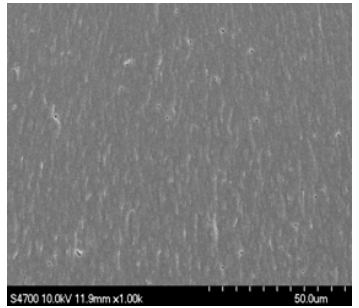


Fig.6 Inner morphous of hydrogels without APABS [I]=1205 mW/cm², T=20 °C

3 结论

所制备的水溶性偶氮苯有很好的光异构化反应 能力,且溶剂对光异构化反应速率有较大影响,完 全溶解参数大的溶剂,由于极性和氢键的双重作用, 使光异构化速度变慢。成功地应用光聚合方法制备 了含有偶氮基团的水凝胶材料,并且证实升高温度 会使得水凝胶材料的内部形态有较大的改变,且其 内部孔洞结构与偶氮染料的存在相关。

参考文献

- Gong C, Wong K L, Lam M H W. Chem Mater, 2008,
 20(4): 1353-1358
- 2 LIU Jianwei, NIE Jun, ZHAO Yufei, et al. J Photochem. Photobiol A: Chemistry, 2010, 211(1): 20-25
- 3 刘晓华,王晓工,刘德山.清华大学学报(自然科学版), 2002, **42**(5): 622-624 LIU Xiaohua, WANG Xiaogong, LIU Deshan. J Tsinghua Univ. (Sci & Tech), 2002, **42**(5): 622-624
- 4 HAN Jing, WANG Keming, YANG Dongzhi, *et al.* Int J Biol Macromol, 2009, **44**(3): 229-235
- Christova D, Velichkova R, Loos W, *et al*. Polymer, 2003, 44(8): 2255-2261
- David G, Simionescu B C, Albertsson A C. Biomacromolecules, 2008, **9**(6): 1678-1683

- Jao W C, Chen H C, Lin C H, et al. Polym Adv Technol, 2009, 20(8): 680-688
- 8 ZHOU Yingshan, YANG Dongzhi, MA Guiping. Polym Adv Technol, 2008, 19(8): 1133-1141
- 9 Kozlovskaya V, Kharlampieva E, Chang S, *et al.* Chem Mater, 2009, **21**(10): 2158-2167
- 10 Lee S M, Chen H, Dettmer C M, et al. J Am Chem Soc, 2007, 129(49): 15096-15097
- Sumaru K, Ohi K, Takagi T, et al. Langmuir, 2006, 22(9): 4353-4356
- 12 Tomatsu I, Hashidzume A, Harada A. Macromolecules, 2005, **38**(12): 5223-5227
- 13 Gharagheizi F, Sattari M, Angaji M T. Polymer Bulletin, 2006, **57**(3): 377-384

Photo-isomerization of 4-[4-(acryloyl)phenylazo]benzene sulfonic acid and hydrogel prepared with photo-polymerization

LIU Jianwei² LIN Lin¹ NIE Jun^{1,2} HE Yong^{1,2}

¹(Key Laboratory of Carbon Fiber and Functional Polymers, Ministry of Education, College of Material Science and Engineering, Beijing University of Chemical Technology, Beijing 100029, China)

²(Changzhou Institute of Advanced Materials, Beijing University of Chemical Technology, Changzhou 213164, China)

ABSTRACT The photo-physical properties of the water-soluble substituted azobenzene monomer, 4-[4-(acryloyl)phenylazo]benzene sulfonic acid (APABS), have been studied, and the effects of the solvent on its photo-isomerization performance were investigated. With N, N'-methylenebis acrylamide (MBAA) as cross-linking agents, the copolymer hydrogels of APABS and HEA were prepared through photo-polymerization method. The effects of the polymerization temperature on the interior morphology of hydrogels have been examined by scanning electron microscopy (SEM).

KEYWORDS Azo dye, Photo-isomerization, Photo-polymerization, Hydrogels **CLC** O644.14, O625.65, TQ316.31